

## ОСОБЕННОСТИ МАГНИТОПОЛЕВЫХ ЗАВИСИМОСТЕЙ КИНЕТИЧЕСКИХ КОЭФФИЦИЕНТОВ В ДВУХСЛОЙНЫХ СТРУКТУРАХ $Cd_xHg_{1-x}Te$

Карачевцева Л. А., Любченко А. В., Маловичко Э. А.

Исследованы особенности магнитополевых зависимостей коэффициента Холла  $R_H$  и относительного магниторезистивного эффекта  $\Delta\rho/\rho$  в эпитаксиальных пленках  $p\text{-}Cd_xHg_{1-x}Te$  ( $x \sim 0.21$ ), а также в  $n\text{-}p$ -структуратах, сформированных в результате механической обработки поверхности кристаллов  $p\text{-}Cd_xHg_{1-x}Te$ . Экспериментально обнаружен и подтвержден теоретическим расчетом участок слабой магнитополевой зависимости  $\Delta\rho_\perp/\rho$  в двухслойной  $n\text{-}p$ -структуре; определены условия появления точки перегиба на электронном участке экспериментальных зависимостей  $R_H(B)$  двухслойных структур. Установлено, что благодаря большому отклонению подвижностей электронов и дырок в твердых растворах  $Cd_xHg_{1-x}Te$  влияние приповерхностного  $n$ -слоя в эпитаксиальной пленке  $p$ -типа проводимости существенно даже при выполнении неравенства  $\sigma_n d_n \ll \sigma_p d_p$  ( $\sigma_n$ ,  $\sigma_p$  — электропроводность,  $d_n$ ,  $d_p$  — толщина соответственно  $n$ - и  $p$ -слоев), в то время как характерный для  $p\text{-}Cd_xHg_{1-x}Te$  участок насыщения  $M(B)$  и инверсия  $R_H(B)$  имеют место даже при выполнении условия  $\sigma_n d_n > \sigma_p d_p$ .

В кристаллах и слоях  $Cd_xHg_{1-x}Te$  (КРТ) гальваномагнитные и фотоэлектрические характеристики существенно зависят от наличия приповерхностного слоя, образующегося в результате температурной либо химико-механической обработки в процессе формообразования приемных элементов [1–3]. Так, в кристаллах  $p$ -КРТ формирование окисла и приповерхностного слоя  $n$ -типа может приводить ко второй низкотемпературной инверсии знака коэффициента Холла [1, 2].

В данной работе исследованы особенности магнитополевых зависимостей коэффициента Холла  $R_H(B)$  и электропроводности  $\sigma(B)$  в эпитаксиальных пленках  $p\text{-}Cd_xHg_{1-x}Te$  ( $x \sim 0.21$ ), а также в «модельных»  $n\text{-}p$ -структуратах, сформированных в результате механической обработки кристаллов  $p\text{-}Cd_xHg_{1-x}Te$  ( $x = 0.22$ ). Приповерхностный слой, обогащенный донорной компонентой («механодоноры» [3]), создавался путем шлифовки поверхности кристаллов алмазной пастой с размером зерен 10 и 40 мкм; толщина нарушенного слоя оценивалась по изменению электропроводности при послойном стравливании в бромсодержащем травителе с шагом  $\sim 5$  мкм. Магнитополевые зависимости  $R_H$  и  $\sigma$  измерены стационарным и импульсным методами при 77 К в диапазоне магнитных полей  $B = 0.01\text{--}10$  Т. Электрофизические параметры слоев, приведенные в таблице, рассчитывались на основе модели с двумя сортами носителей в однослоиной и двухслойной  $n\text{-}p$ -структуре [4–6].

Полевая зависимость коэффициента Холла эпитаксиальной пленки  $p$ -КРТ (рис. 1, кривая 1) в принципе может быть объяснена в рамках двухзонной модели однородного полупроводника со смешанной проводимостью. Однако в результате аппроксимации экспериментальной зависимости  $R_H(B)$  общим выражением для коэффициента Холла получено значение собственной концентрации  $n_s = (np)^{1/2} \approx 5 \cdot 10^{14}$  см $^{-3}$ , что существенно превышает величину этого зонного параметра для исследуемого состава  $x \approx 0.21$  [7]. Квадратичная при слабых  $B$  магнитополевая зависимость относительного магниторезистивного эффекта  $M(B) = \Delta\rho_\perp/\rho$  (рис. 1, кривая 2) типична для кристаллов  $n\text{-}Cd_xHg_{1-x}Te$  [8, 9]; отклонение от квадратичной зависимости  $M(B)$  имеет место в области сильных полей и спада  $R_H$ .

Тип структуры	$d \cdot 10^6$ , м	$\Omega_{\text{М}}^{-1} \cdot \text{м}^{-1}$	$R_H^0, \text{м}^3/\text{Кл}$	$n \cdot 10^{17}, \text{м}^{-3}$	$\mu_n, \text{м}^2/\text{В} \cdot \text{с}$	$p \cdot 10^{21}, \text{м}^{-3}$	$\mu_p \cdot 10^2, \text{м}^2/\text{В} \cdot \text{с}$
Эпитаксиальная $n-p$ -структур	19	160	$7.3 \cdot 10^{-3}$	—	—	—	—
$p$ -Слой	17	120	$1.98 \cdot 10^{-4}$	2.5	14	20	4.26
$n$ -Слой	2	$2.7 \cdot 10^3$	$1.7 \cdot 10^{-3}$	$3.4 \cdot 10^4$	44	—	—
Однородный кристалл $p$ -Cd <sub>x</sub> Hg <sub>1-x</sub> Te	900	12	0.84	46	13	1.4	1.47
$n-p$ -Структура (обработка пастой М10)	900	16	0.62	—	—	—	—
Нарушенный слой (обработка пастой М10)	30	150	$7 \cdot 10^{-2}$	$8.9 \cdot 10^2$	11	—	—
$n-p$ -Структура (обработка пастой М40)	900	29	$1.3 \cdot 10^{-2}$	—	—	—	—
Нарушенный слой (обработка пастой М40)	100	170	$1.5 \cdot 10^{-2}$	$4 \cdot 10^3$	2.6	—	—

(B). Снятие слоя толщиной  $\Delta d \approx 2$  мкм приводит к существенному изменению зависимостей  $R_H(B)$  и  $M(B)$  (рис. 1, кривые 3, 4) — они становятся характерными для кристаллов  $p$ -типа со смешанной проводимостью ( $\mu_n n$  и  $\mu_p p$  — одного порядка величины).

Для однородных кристаллов  $p$ -Cd<sub>x</sub>Hg<sub>1-x</sub>Te характерна классическая зависимость  $R_H(B)$  с инверсией знака (рис. 2, кривая 1). В структурах с нарушенным слоем  $n$ -типа проводимости (см. таблицу) имеет место немонотонное спадание  $R_H$  электронного знака с ростом напряженности магнитного поля (рис. 2, кривые 2, 3).

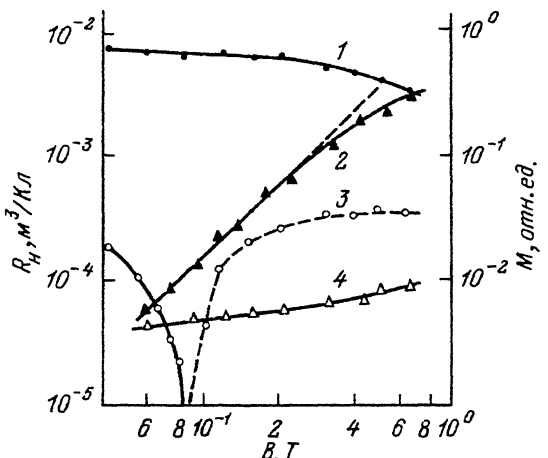


Рис. 1. Магнитополевые зависимости коэффициента Холла (1, 3) и магниторезистивного эффекта (2, 4) эпитаксиальной структуры до (1, 2) и после (3, 4) сгравливания приповерхностного слоя (~2 мкм).

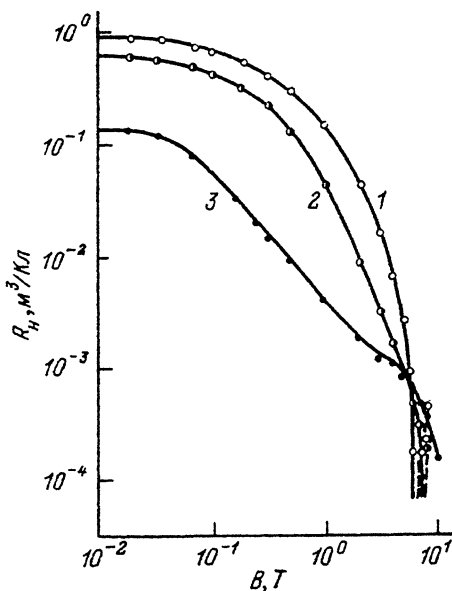


Рис. 2. Магнитополевые зависимости коэффициента Холла однородных кристаллов  $p$ -Cd<sub>x</sub>Hg<sub>1-x</sub>Te (1) и с механически нарушенным слоем.

Толщина  $d_1$ , мкм: 2 — 30, 3 — 100.

Таким образом, эпитаксиальные пленки  $p\text{-Cd}_x\text{Hg}_{1-x}\text{Te}$  с ростовой поверхностью, а также монокристаллические сэндвич-структуры, содержащие нарушенный слой, обладают зависимостями  $R_H(B)$  и  $M(B)$ , характеризующимися существенным влиянием приповерхностного  $n$ -слоя в измеренном диапазоне магнитных полей.

Теоретический анализ магнитополевых зависимостей коэффициента Холла и электропроводности для структуры на основе  $\text{Cd}_x\text{Hg}_{1-x}\text{Te}$  с  $n$ -слоем (индекс 1) толщиной  $d_1$  и  $p$ -слоем толщиной  $d_2$  для  $n$ - и  $p$ -компонент с учетом парциального вклада носителей [4] приводит к следующим выражениям для  $R_H(B)$  и  $\sigma(B)$ :

$$R_H(B) = \frac{(\sigma_{xx}^n + \sigma_{xy}^n + \sigma_{xy}^p) B^{-1}}{(\sigma_{xx}^n + \sigma_{xx}^p)^2 + (\sigma_{xy}^n + \sigma_{xy}^p + \sigma_{xy}^p)^2};$$

$$\sigma(B) = \frac{(\sigma_{xx}^n + \sigma_{xx}^p)^2 + (\sigma_{xy}^n + \sigma_{xy}^p + \sigma_{xy}^p)^2}{\sigma_{xx}^n + \sigma_{xx}^p}, \quad (1)$$

где  $\sigma_{xx}^i = en_i <\mu_i> d_i/d$ ;  $\sigma_{xy}^i = en_i <\mu_i^2> d_i/d$  и выполняются условия  $\sigma_{xy}^n \sim \sigma_{xy}^p >> \sigma_{xx}^p$ ,  $L_D \ll d_1, d_2$  ( $L_D$  — дебаевская длина экранирования), которые реализуются в исследуемых многослойных структурах (см. таблицу). Для компонент проводимости дырок в квадратичном приближении по магнитному полю используем известные выражения

$$\sigma_{xx}^p = ep (<\mu_p> - <\mu_p>^3 B^2); \quad \sigma_{xy}^p = ep <\mu_p^2> B. \quad (2)$$

Компоненты проводимости электронов приповерхностного слоя ( $\sigma_{xx}^n$  и  $\sigma_{xy}^n$ ) рассматриваются в условиях произвольных магнитных полей. С учетом принятых приближений и (1) для поперечного магнитосопротивления получено выражение

$$\frac{\Delta\rho_\perp}{\rho} = \frac{\sigma_{pp} \sigma_{nn} + \sigma_{nn} \sigma_p \mu_{n1}^2 B^2}{\sigma_{pp}^2 + \sigma_p \mu_{n1}^2 B^2} + \frac{\sigma}{\sigma_p} \left(1 + \frac{\sigma_{pp}}{\sigma_p^2 \mu_{n1}^2}\right)^{-2} \mu_p^2 B^2, \quad (3)$$

где  $\sigma_{pp} = \sigma_{n1} + \sigma_p$ ;  $\sigma_{nn} = \sigma_{n1} + \sigma_{n2}$ ;  $\sigma = \sigma_{n1} + \sigma_{n2} + \sigma_{n3}$ ;  $\sigma_{n1} = en_1 \mu_1 d_1/d$ ;  $\sigma_{n2} = en_2 \mu_{n2} d_2/d$ ;  $\sigma = e \mu_p d_2/d$ ; холл-фактор принят равным единице.

Пример расчета магнитополевых зависимостей коэффициента Холла и электропроводности для рассмотренных эпитаксиальных структур представлен на рис. 3, а, б.

С увеличением толщины приповерхностного  $n$ -слоя коэффициент Холла в области слабых магнитных полей (штрихпунктир) растет, проходит через максимум и стремится к  $(en)^{-1}$  для однородного  $n$ -слоя. Анализ общего выражения для коэффициента Холла [4] указывает на то, что точка перегиба имеет место в области сильных магнитных полей для электронов  $p$ -слоя, промежуточных — для электронов  $n$ -слоя и слабых — для дырок  $p$ -слоя, а также при выполнении неравенства  $n_2 \mu_{n2}^2 d_2 > n_1 \mu_{n1}^2 d_1$ . Совокупность указанных условий выполняется для кристаллов  $p\text{-Cd}_x\text{Hg}_{1-x}\text{Te}$  с нарушенным слоем (см. таблицу, рис. 2).

В полевой зависимости магнитосопротивления двухслойной структуры (рис. 3, б) в области магнитных полей  $B \leq 0.5 B_0$  ( $B_0$  — величина магнитной индукции, при которой происходит инверсия знака  $R_H$ ) показатель магнитополевой зависимости  $\Delta\rho_\perp/\rho$  близок к двум, а для  $B > B_0$  эта зависимость насыщается даже при  $\sigma_p d_1 > \sigma_p d_2$ . Таким образом, в двухслойной структуре появляется протяженный участок слабой зависимости  $R_H(B)$  (рис. 1), что может быть использовано для обнаружения неоднородности по толщине.

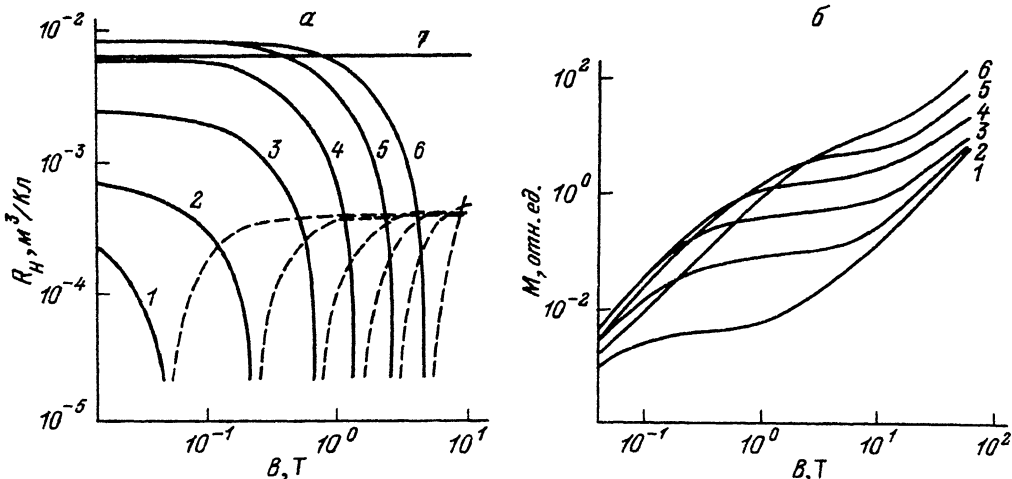


Рис. 3. Расчет магнитополевых зависимостей коэффициента Холла (а) и магниторезистивного эффекта (б) двухслойной эпитаксиальной структуры (см. таблицу) толщиной  $d$  и относительной толщиной  $n$ -слоя  $d_1/d$ .

1 – 0, 2 –  $5 \cdot 10^{-3}$ , 3 –  $2.5 \cdot 10^{-2}$ , 4 – 0.1, 5 – 0.25, 6 – 0.5, 7 – 1.0.

Существенно, что благодаря большому отношению подвижностей электронов и дырок в твердых растворах  $Cd_xHg_{1-x}Te$  влияние приповерхностного  $n$ -слоя в эпитаксиальной пленке  $p$ -типа проводимости имеет место даже при сильном неравенстве  $\sigma_n d_n \ll \sigma_p d_p$ . Расчет магнитополевой зависимости относительного магниторезистивного эффекта двухслойной структуры подтверждает наличие экспериментально наблюдаемого участка насыщения  $M(B)$  и инверсии  $R_H(B)$  даже при выполнении условия  $\sigma_n d_1 > \sigma_p d_2$  ввиду более сильной полевой зависимости  $\sigma_n(B)$  по сравнению с  $\sigma_p(B)$ .

#### СПИСОК ЛИТЕРАТУРЫ

- [1] Баженов Н. А., Иванов-Омский В. И., Огородников В. К. // ФТП. 1984. Т. 18. В. 12. С. 1458—1461.
- [2] Елизаров А. И., Иванов-Омский В. И., Корниш А. А. и др. // ФТП. 1984. Т. 18. В. 2. С. 201—205.
- [3] Бовина Л. А., Стafeев В. И., Фролов А. В., Рубцов А. Г. // Матер. Всес. сем. по проблеме «Физика и химия полупроводников». Павлодар, 1987. С. 215—217.
- [4] Кучис Е. В. Гальваномагнитные эффекты и методы их исследования. М., 1990. 26 с.
- [5] Tsidiilkovskii J. M., Giriat W., Kharus G. J. // Phys. St. Sol.(a). 1974. V. 64. P. 51—56.
- [6] Каравецева Л. А., Любченко А. В., Хижняк Б. И. // Физическая электроника. 1987. В. 35. С. 2122—2127.
- [7] Finkman E. // J. Appl. Phys. 1983. V. 54. N 12. P. 8107—8111.
- [8] Баранский П. И., Буюнова И. А., Горбатюк И. П. и др. // УФЖ. 1984. Т. 29. В. 2. С. 294—297.
- [9] Городничий О. П., Горбатюк И. П., Корнюшин Ю. В. и др. // УФЖ. 1984. Т. 29. В. 4. С. 584—588.